

2009 年答案

一, 1 匀质形核: 课本 41 页

2 反应性气孔: 课本 95 页

3 晶界偏析: 课本 115 页

4 塑性: 课本 262 页

5 加工硬化: 随着金属变形程度的增加, 金属的强度、硬度增高, 塑性和韧性下降, 称为加工硬化。

6 平面变形:

7 焊接温度场及其表示方法: 课本 139 页

8 焊接热影响区的回火软化: 课本 156 页

9 焊接合金化: 课本 178 页

10 焊接残余变形: 课本 188 页

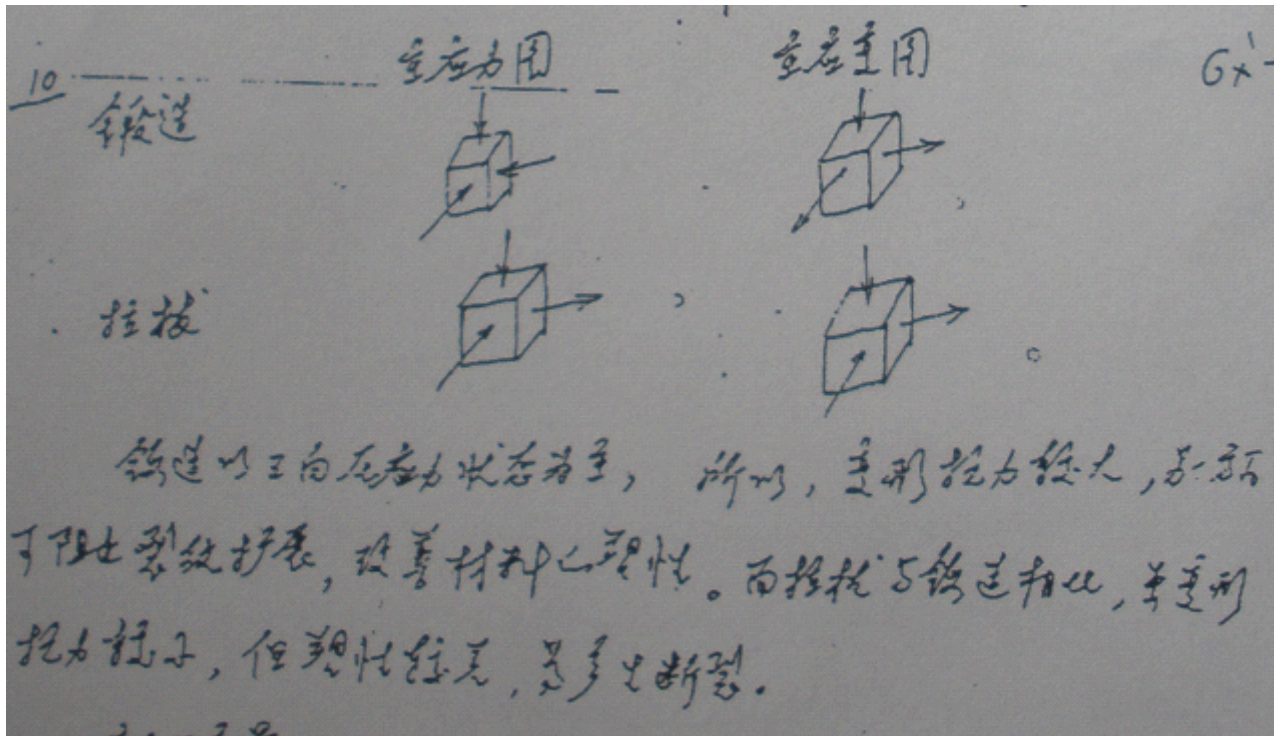
二, 问答题

1, 课本 23 页与 28 页

2, 形成原因 109 页末二段, 球铁缩孔缩松特点 110 页最后一段, 防止措施 111 页

3,

4,



5, 课本 175 页

6, 16Mn 钢是不易淬火钢, 见书本 154 页

7 显然, 该裂纹为冷裂纹中的延迟裂纹, 其机理包括形成机理与延迟机理, 形成机理见 204 至 207 三点, 延迟机理见 208 页最后一段“氢的应力诱导----”

三, 计算题

1 此题为简单带公式题目, 参看 05 至 07 三年的题目, 很容易解出

3, 见课本 277 页

4, 此题是主应力法, 解答较为麻烦, 按照下面步骤, 可解答出

§ 7.6 球坐标轴对称问题的解析

以单孔模正挤压圆棒为例：

挤压轴通过挤压垫作用在坯料的力叫挤压力。实践表明挤压时挤压力是随着挤压轴的行程而变化的（见图 7-6）。

第一阶段与填充阶段，坯料在垫片与模面间受到镦粗变形，长度缩短，直径增大，直至充满整个挤压筒。因此该阶段上坯料的变形与圆柱体镦粗类似，挤压力随着挤压轴向前运动而增加。

第二阶段为稳态挤压阶段，该阶段上随着挤压轴向前运动，坯料长度不断减少，因而挤压筒与坯料间的接触摩擦逐渐减小，因此挤压力不断下降。

第三阶段为挤压终了阶段。进入该阶段后筒内残料的长度小于死区的高度，随着挤压的进行， D/h 比值增大，使金属沿垫片及横面出现强烈的横向流动，因而导致挤压力回升。

通常要计算的挤压力指的是图 7-6 中挤压力曲线的最大值。它是选择挤压机吨位、制定挤压工艺和设计挤压模具的重要参数。为此对稳态挤压阶段作一分析。

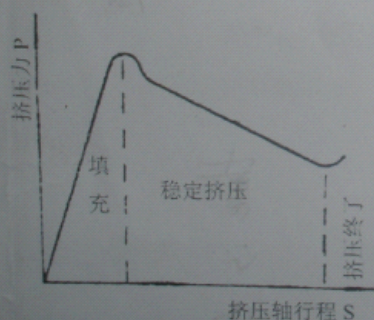


图 7-6 正挤压过程压力变化

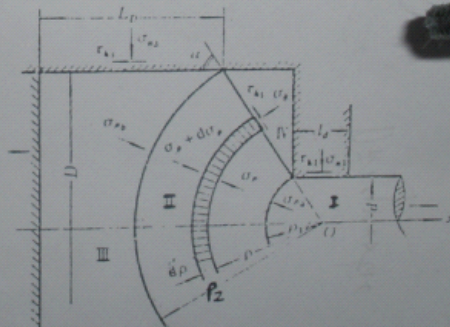


图 7-7 圆棒正挤压受力情况

根据稳态挤压阶段上坯料的受力和变形情况，一般可分成四个区域，见图 7-7。I 区为定径区，II 区为塑性变形区，III 区与后弹区，IV 区为“死区”或刚性区。现对各区的应力情况依次加以分析。

一、定径区

坯料进入该区后，塑性变形刚好终结。坯料在该区内只是发生弹性回复，力图径向小涨大。因而受到定径带给予的正压力 σ_{n1} 与摩擦力 τ_{k1} 的作用，此外还受到来自锥形塑性变形区的径向压力 σ_{pa} 的作用，金属在该区内处于三向压应力状态。

根据定径区的力平衡条件 $\Sigma X = 0$ ，得

$$\sigma_{pa} \cdot \frac{\pi d^2}{4} = \tau_{k1} \cdot \pi d l_d$$

式中， d 为挤压后圆棒直径

l_d 为定径带长度

摩擦应力 τ_k 取最大值， $\tau_{k1} = f_1 \cdot \sigma_T$ ， f_1 为定径带上的摩擦系数。因此可得

$$\sigma_{\rho\alpha} = \frac{4f_1\sigma_T l_d}{d} \quad (7-21)$$

二、锥形塑性变形区

在该区内，坯料受到来自 I 区和 III 区的压力以及 IV 区的压应力 σ_θ 和摩擦力 τ_{k4} 的作用，处于三向压应力状态，产生两向压缩一向拉伸的变形。当按照球坐标轴对称问题处理时，认为塑性变形区与 I 区和 III 区的分界面为同心球面，与 IV 区的分界面为锥角为 α 的锥面。

在球坐标中所截取的单元体，其力平衡条件 $\Sigma X = 0$ 即 $R_x - T_x - Q_x = 0$

$$\text{式中: } R_x = (\sigma_\rho + d\sigma_\rho) \cdot \pi[(\rho + d\rho) \sin \alpha]^2 - \sigma_\rho \cdot \pi(\rho \sin \alpha)^2$$

$$T_x = \tau_{k4} \cdot \pi[\rho \sin \alpha + (\rho + d\rho) \sin \alpha] d\rho \cdot \cos \alpha$$

$$Q_x = \sigma_\theta \cdot \pi[\rho \sin \alpha + (\rho + d\rho) \sin \alpha] d\rho \cdot \sin \alpha$$

忽略高阶微分，上式整理得：

$$\rho d\rho_\rho - 2(\sigma_\theta - \sigma_\rho) d\rho - 2m \cdot k \cdot d\rho \operatorname{ctg} \alpha = 0 \quad (a)$$

式中， m 为锥面上的摩擦因子，通常取 1。

$$k = \frac{\sigma_T}{\sqrt{3}}$$

将近似塑性条件 $\sigma_\theta - \sigma_\rho = \sigma_T$ 代入 (a) 式得

$$d\sigma_\rho = 2\sigma_T \left(1 + \frac{m}{\sqrt{3}} \operatorname{ctg} \alpha\right) \frac{d\rho}{\rho}$$

$$\text{将上式积分得} \quad \sigma_\rho = \sigma_T \left(1 + \frac{m}{\sqrt{3}} \operatorname{ctg} \alpha\right) \ln \rho^2 + C \quad (b)$$

由 (7-16) 式知 当 $\rho = \frac{d}{2 \sin \alpha}$ 时

$$\sigma_\rho = \sigma_{\rho\alpha} = \frac{4f_1\sigma_T l_d}{d}$$

将此边界条件代入 (b) 式得积分常数 C

$$C = \frac{4f_1\sigma_T l_d}{d} - \sigma_T \left(1 + \frac{m}{\sqrt{3}} \operatorname{ctg} \alpha\right) \ln \left(\frac{d}{2 \sin \alpha}\right)^2$$

于是塑性区内

$$\sigma_{\rho} = \sigma_T \left(1 + \frac{m}{\sqrt{3}} \operatorname{ctg} \alpha \right) \ln \left(\frac{2\rho \sin \alpha}{d} \right)^2 + \frac{4f_1 \sigma_T l_d}{d} \quad (7-22)$$

在塑性变形的入口界面上，即 $\rho = \frac{D}{2 \sin \alpha}$ 时其径向应力

$$\sigma_{\rho h} = \sigma_T \left(1 + \frac{m}{\sqrt{3}} \operatorname{ctg} \alpha \right) \ln \left(\frac{D}{d} \right)^2 + \frac{4f_1 l_d \sigma_T}{d} \quad (7-23)$$

式中：D 为挤压筒直径。